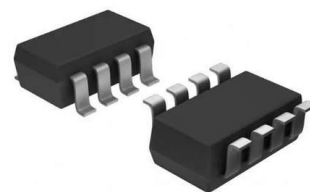


## 用于开漏模式和推拉模式的 2bit 双向电平转换器

### 产品简述

MS4552S是一款双向电平转换器，可以用作混合电压的数字信号系统中。其使用两个独立构架的电源供电，A端供电电压范围是1.65V到5.5V，B端供电电压范围是2.3V到5.5V。可用在电压为1.8V、2.5V、3.3V和5V的信号转换系统中。当OE端为低电平时，所有IO端口为高阻态，降低了静态功耗。当VCCA上电后，OE端内部集成了下拉电流源。为了确保在上电或下电过程中端口保持高阻特性，OE端应通过下拉电阻接地，下拉电阻的阻值由驱动电流源的能力决定。

MS4552S采用SOT23-8封装，工作温度范围是-40°C到+120°C。



SOT23-8

### 主要特点

- 无需方向控制信号
- 数据速率：推拉模式为15Mbps，开漏模式为2Mbps
- A端电压范围1.65V到5.5V，B端电压范围是2.3V到5.5V  
( $V_{CCA} \leq V_{CCB}$ )
- VCC隔离：如果任何一个电源拉到地，则端口呈现高阻态
- 支持掉电模式

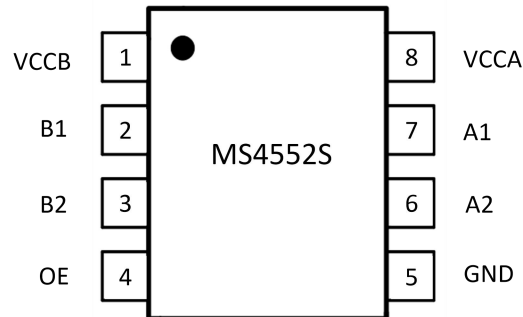
### 应用

- I2C/SMBus（系统管理总线）
- UART（通用异步收发传输器）
- GPIO（通用输入/输出）

### 产品规格分类

产品名称	封装形式	丝印名称
MS4552S	SOT23-8	4552S

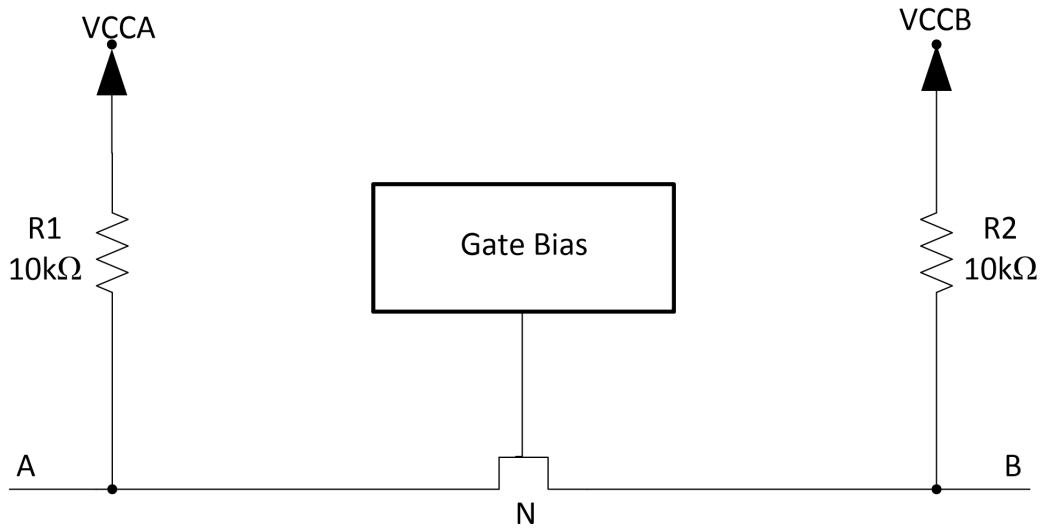
## 管脚图



## 管脚说明

管脚编号	管脚名称	管脚属性	管脚描述
1	VCCB	--	B 端口供电电压, $2.3V \leq VCCB \leq 5.5V$
2	B1	I/O	输入/输出端口 B, 参考 VCCB
3	B2	I/O	输入/输出端口 B, 参考 VCCB
4	OE	I	输出使能端, 拉低 OE 以将所有输出至于高阻态
5	GND	--	地
6	A2	I/O	输入/输出端口 A, 参考 VCCA
7	A1	I/O	输入/输出端口 A, 参考 VCCA
8	VCCA	--	A 端口供电电压, $1.65V \leq VCCA \leq 5.5V$ , 且 $VCCA \leq VCCB$

内部框图



## 极限参数

芯片使用中，任何超过极限参数的应用方式会对器件造成永久的损坏，芯片长时间处于极限工作状态可能会影响器件的可靠性。极限参数只是由一系列极端测试得出，并不代表芯片可以正常工作在此极限条件下。

参数	条件	额定值	单位
电源电压范围 VCCA		-0.3 ~ +6.0	V
电源电压范围 VCCB		-0.3 ~ +6.0	V
输入端口电压范围		-0.3 ~ +6.0	V
高阻或掉电状态下， 加到输出端口的电压		-0.3 ~ +6.0	V
正常输出态时， 加到输出端口的电压	A 端口	-0.3 ~ VCCA+0.3V	V
	B 端口	-0.3 ~ VCCB+0.3V	V
输入钳位电流	VI<0V	-50	mA
输出钳位电流	VO<0V	-50	mA
持续输出电流 IO		±50	mA
持续通过 VCCA、VCCB、GND 的电流		±100	mA
工作温度范围		-40 ~ +120	°C
结温		150	°C
储藏温度		-60 ~ +150	°C
焊接温度（10s）		260	°C

## 电气参数

VCCA=1.6V-5.5V, VCCB=2.3V-5.5V, 在  $T_A=25^{\circ}\text{C}$  情况下的典型值, 除非另有说明。

参数	测试条件	最小值	典型值	最大值	单位
<b>推荐工作条件<sup>1,2</sup></b>					
供电电压 <sup>3</sup>	VCCA	1.2		5.5	V
	VCCB	1.8		5.5	
高电平输入电压 $V_{IH}$	A 端口	VCCA=1.65V~1.95V VCCB=2.3V~5.5V	$V_{CC1}-0.4$	$V_{CC1}$	V
		VCCA=2.3V~5.5V, VCCB=2.3V~5.5V	$V_{CC1}-0.4$	$V_{CC1}$	
	B 端口	$V_{CC1}-0.4$	$V_{CC1}$		
	OE 端口	$V_{CCA}\times 0.8$	5.5		
低电平输入电压 $V_{IL}$	A 端口	0		0.7	V
	B 端口	0		0.7	
	OE 端口	0		$V_{CCA}\times 0.2$	
输入信号沿变化( $\Delta t/\Delta V$ )	A 端口推拉驱动			10	ns/V
	B 端口推拉驱动			10	
	控制输入			10	
<b>电学特性</b>					
A 端口输出高电压( $V_{OHA}$ )	$I_{OH}=-20\mu\text{A}$ , $V_{IB}\geq V_{CCB}-0.4\text{V}$			$V_{CCA}\times 0.8$	V
A 端口输出低电压( $V_{OLA}$ )	$I_{OL}=1\text{mA}$ , $V_{IB}\leq 0.15\text{V}$		0.2		
B 端口输出高电压( $V_{OHB}$ )	$I_{OH}=-20\mu\text{A}$ , $V_{IA}\geq V_{CCA}-0.4\text{V}$			$V_{CCB}\times 0.8$	
B 端口输出低电压( $V_{OLB}$ )	$I_{OL}=1\text{mA}, V_{IA}\leq 0.15\text{V}$		0.2		
OE 输入电流( $I_I$ )	OE		0.1		$\mu\text{A}$
掉电漏电流( $I_{OFF}$ )	A 端口	VCCA=0V, VCCB=0V~5.5V	0.1		
	B 端口	VCCA=0V~5.5V, CCB=0V	0.1		

参数		测试条件	最小值	典型值	最大值	单位
三态输出漏电流( $I_{OZ}$ )	A 或 B 端口	OE=0V		0.1		$\mu\text{A}$
静态电流( $I_{CCA}$ )	$V_i=V_o=OPEN, I_o=0$	VCCA=1.65V~VCCB, VCCB=2.3V~5.5V		0.1		$\mu\text{A}$
		VCCA=5.5V, VCCB=0V		0.1		
		VCCA=0V, VCCB=5.5V		0.1		
静态电流( $I_{CCA}+I_{CCB}$ )	$V_i=V_o=OPEN, I_o=0$	VCCA = 1.65V~VCCB, VCCB = 2.3V~5.5V		5.5		$\mu\text{A}$
静态电流( $I_{CCB}$ )	$V_i=V_o=OPEN, I_o=0$	VCCA=1.65V~VCCB, VCCB=2.3V~5.5V		5.5		$\mu\text{A}$
		VCCA=5.5V, VCCB=0V		0.1		
		VCCA=0V, VCCB=5.5V		0.1		
静态电流( $I_{CCZA}$ )	$V_i=V_o=OPEN$ $I_o=0, OE=GND$	VCCA=1.65V~VCCB, VCCB=2.3V~5.5V		0.1		$\mu\text{A}$
		VCCA=5.5V, VCCB=0V		0.1		
		VCCA=0V, VCCB=5.5V		0.1		
静态电流( $I_{CCZB}$ )	$V_i=V_o=OPEN$ $I_o=0, OE=GND$	VCCA=1.65V~VCCB, VCCB=2.3V~5.5V		0.1		$\mu\text{A}$
		VCCA=5.5V, VCCB=0V		0.1		
		VCCA=0V, VCCB=5.5V		0.1		
OE 输入电容( $C_i$ )	VCCA=3.3V, VCCB=3.3V			5		pF
A 端口输入电容( $C_{iO}$ )	VCCA=3.3V, VCCB=3.3V			6.5		pF
B 端口输入电容( $C_{iO}$ )				6.5		

- 注 1.  $V_{CC1}$  是与输入端口相关联的  $V_{CC}$ 。
2.  $V_{CC0}$  是与输出端口相关联的  $V_{CC}$ 。
3. VCCA 必须小于等于 VCCB，且 VCCA 不能超过 5.5V。

**时序要求**

参数		VCCB=2.5V	VCCB=3.3V	VCCB=5V	单位
		典型值	典型值	典型值	
(T <sub>A</sub> = +25°C, VCCA = 1.8V, 除非另有说明)					
数据速率	推拉模式	9	9	9	Mbps
	开漏模式	2	2	2	
(T <sub>A</sub> = +25°C, VCCA = 2.5V, 除非另有说明)					
数据速率	推拉模式	11	11	10	Mbps
	开漏模式	2	2	2	
(T <sub>A</sub> = +25°C, VCCA = 3.3V, 除非另有说明)					
数据速率	推拉模式		12	12	Mbps
	开漏模式		2	2	
(T <sub>A</sub> = +25°C, VCCA = 5V, 除非另有说明)					
数据速率	推拉模式			15	Mbps
	开漏模式			2	

**开关特性**

 (T<sub>A</sub> = +25°C, VCCA = 1.8V, 除非另有说明)

参数	符号	测试条件	VCCB = 2.5V	VCCB = 3.3V	VCCB = 5V	单位
			典型值	典型值	典型值	
VCCA = 1.8V						
A 到 B 延时	tPHL	推拉模式	4.0	4.8	5.4	ns
		开漏模式	26.0	26.3	26.7	
	tPLH	推拉模式	2.4	2.6	3.0	
		开漏模式	175	145	110	
B 到 A 延时	tPHL	推拉模式	4.0	4.4	4.6	ns
		开漏模式	26.0	26.1	26.2	
	tPLH	推拉模式	2.4	2.6	3.0	
		开漏模式	133	69	51	
OE 开启时间 (tPZH 和 tPZL)	tEN		5.2	4.4	3.8	ns
OE 关断时间 (tPHZ 和 tPLZ)	tDIS		614	616	626	ns

参数	符号	测试条件	VCCB = 2.5V	VCCB = 3.3V	VCCB = 5V	单位
			典型值	典型值	典型值	
<b>VCCA = 1.8V</b>						
A 端口上升沿	trA	推拉模式	16	15	14	ns
		开漏模式	89	31	10	
B 端口上升沿	trB	推拉模式	12	11	9	ns
		开漏模式	128	98	58	
A 端口下降沿	tfA	推拉模式	10	9	8	ns
		开漏模式	1.9	1.7	1.6	
B 端口下降沿	tfB	推拉模式	9	14	18	ns
		开漏模式	2.2	2.3	2.9	
通道延时偏差	tsk(0)		0.5	0.5	0.5	ns
<b>VCCA = 2.5V</b>						
A 到 B 延时	tPHL	推拉模式	3.7	4.3	4.8	ns
		开漏模式	26.2	26.4	26.7	
	tPLH	推拉模式	3.6	3.4	3.3	
		开漏模式	169	144	110	
B 到 A 延时	tPHL	推拉模式	3.4	3.3	3.4	ns
		开漏模式	26.3	26.4	26.5	
	tPLH	推拉模式	3.0	2.9	2.8	
		开漏模式	165	118	55	
OE 开启时间 (tPZH 和 tPZL)	tEN		14	13	12	ns
OE 关断时间 (tPHZ 和 tPLZ)	tDIS		630	635	640	
A 端口上升沿	trA	推拉模式	13	13	12	ns
		开漏模式	120	70	10	
B 端口上升沿	trB	推拉模式	4.5	3.4	2.6	ns
		开漏模式	122	96	62	
A 端口下降沿	tfA	推拉模式	8	7	6	ns
		开漏模式	2.0	1.9	1.7	
B 端口下降沿	tfB	推拉模式	8	12	15	ns
		开漏模式	1.9	2.1	2.7	
通道延时偏差	tsk(0)		0.5	0.5	0.5	ns



参数	符号	测试条件	VCCB = 2.5V	VCCB = 3.3V	VCCB = 5V	单位
			典型值	典型值	典型值	
VCCA = 3.3V						
A 到 B 延时	tPHL	推拉模式		4.3	4.9	ns
		开漏模式		26.3	26.7	
	tPLH	推拉模式		3.2	3.0	
		开漏模式		133	104	
B 到 A 延时	tPHL	推拉模式		4.0	4.2	ns
		开漏模式		26.6	26.8	
	tPLH	推拉模式		2.8	2.7	
		开漏模式		132	83	
OE 开启时间 (tPZH 和 tPZL)	tEN			12	11	ns
OE 关断时间 (tPHZ 和 tPLZ)	tDIS			630	635	
A 端口上升沿	trA	推拉模式		12	11	ns
		开漏模式		87	36	
B 端口上升沿	trB	推拉模式		10	9	ns
		开漏模式		87	56	
A 端口下降沿	tfA	推拉模式		12	11	ns
		开漏模式		2.3	2.0	
B 端口下降沿	tfB	推拉模式		13	16	ns
		开漏模式		2.0	2.5	
通道延时偏差	tsk(0)			0.5	0.5	ns

参数	符号	测试条件	VCCB = 2.5V	VCCB = 3.3V	VCCB = 5V	单位
			典型值	典型值	典型值	
VCCA = 5.0V						
A 到 B 延时	tPHL	推拉模式			5.4	ns
		开漏模式			26.7	
	tPLH	推拉模式			2.9	
		开漏模式			120	
B 到 A 延时	tPHL	推拉模式			5.6	ns
		开漏模式			27.3	
	tPLH	推拉模式			2.7	
		开漏模式			126	
OE 开启时间 (tPZH 和 tPZL)	tEN				10	ns
OE 关断时间 (tPHZ 和 tPLZ)	tDIS				636	
A 端口上升沿	trA	推拉模式			8	ns
		开漏模式			79	
B 端口上升沿	trB	推拉模式			7	ns
		开漏模式			73	
A 端口下降沿	tfA	推拉模式			8.7	ns
		开漏模式			2.7	
B 端口下降沿	tfB	推拉模式			8.6	ns
		开漏模式			2.4	
通道延时偏差	tsk(0)				0.5	ns

## 应用说明

MS4552S 可以用于桥接两个不同的电压节点，以成功连接电子系统中的逻辑门电平。它可以用在点对点拓扑中，用于连接在不同接口电压下相互操作的设备或系统中。它的主要目标是用开漏模式与 I/O 口进行数据连接，例如 I<sup>2</sup>C 和 1-Wire，数据是双向传输且不需要控制信号，也可以用推拉模式与 I/O 口进行数据连接。

### 输入驱动需求

信号的下降时间( $t_{fA}$ ,  $t_{fB}$ )取决于驱动 MS4552S 的数据 I/O 口外部驱动器的输出阻抗，同样的， $t_{pHL}$  和数据速率也取决于外部驱动器的输出阻抗。数据表中  $t_{fA}$ ,  $t_{fB}$ ,  $t_{pHL}$  的值和转换速率定义为假设外部驱动器的输出阻抗小于 50Ω 情况下的值。

### 上电

在操作期间，要保证  $V_{CCA} \leq V_{CCB}$ 。在上电操作期间，每个电源的排序不会损坏设备，因此可以首先提升任意一个电源。

### 输出负载注意事项

我们建议使用 PCB 布线长度小的 PCB 布局，以避免过大的电容负载并确保正确的单次触发发生。PCB 信号线走线长度应保持足够短，以使每次影射的往返延迟小于单次触发持续时间。通过确保任何一次影射都能在驱动器处看到一个低阻抗，从而改善信号完整性。设计的单次触发周期保持在接近 30ns。可以驱动的集总负载的最大电容也直接取决于单次持续时间。对于非常大的容性负载，单次触发可以在信号被完全驱动到正轨之前超时。通过对动态参数  $I_{CC}$ 、负载驱动能力和最大比特率之间的权衡，设置单次触发的持续时间为最佳状态。从 MS4552S 的输出可以看到 PCB 走线长度和连接器都会使电容增加，因此建议考虑使用集总负载电容，以避免重新单次触发、总线竞争、输出信号震荡或其他不利的系统级影响。

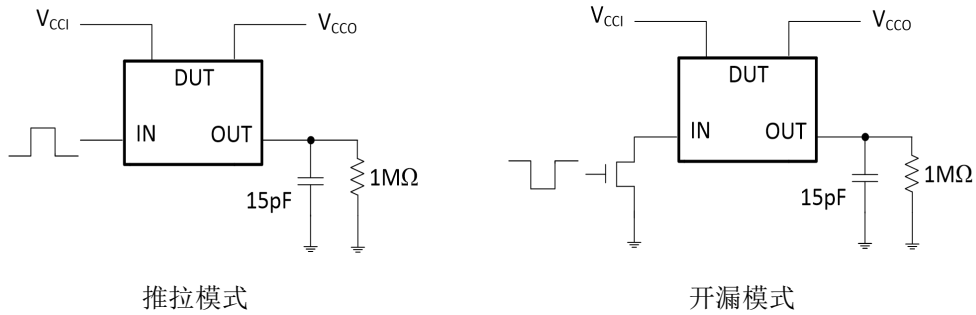
### 启用和关断

MS4552S 有一个 OE 输入端口以用来当 OE 为低电平时使器件关断，使所有 I/O 口在高阻状态。只要  $V_{CCA}$  通电，OE 就会存在一个内部的下拉电流源，关断时间( $t_{DIS}$ )表示 OE 变为低电平和输出为高阻状态之间的延迟。启用时间( $t_{EN}$ )表示用户必须允许单次触发电路在 OE 被提升为高电平后才能运行的时间。

### I/O 口的上拉和下拉电阻

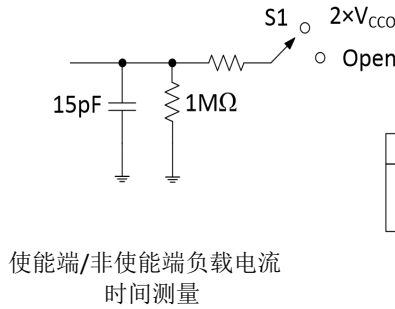
每一个 A 端口对于  $V_{CCA}$  都有一个 10kΩ 的内部上拉电阻，每一个 B 端口对于  $V_{CCB}$  都有一个 10kΩ 的内部上拉电阻。如果需要一个更小的上拉电阻，必须在 I/O 口到  $V_{CCA}$  或  $V_{CCB}$  之间添加一个外部电阻，然而加上一个阻值更小的上拉电阻将会影响  $V_{OL}$  电平，当 OE 为低电平时，MS4552S 内部上拉电阻会被关断。

参数测试信息



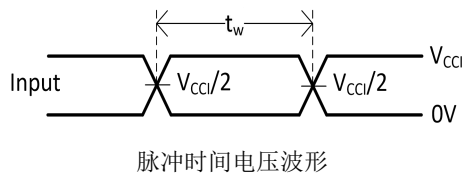
推拉模式

开漏模式



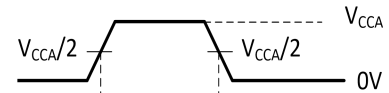
TEST	S1
$t_{PZL}/t_{PLZ}$	$2 \times V_{CCO}$
$t_{PHZ}/t_{PZH}$	Open

使能端/非使能端负载电流  
时间测量

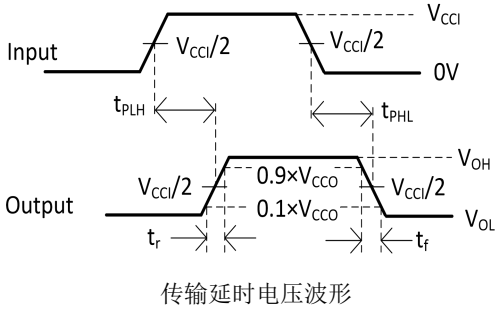


脉冲时间电压波形

输出控制  
(高电平启用)



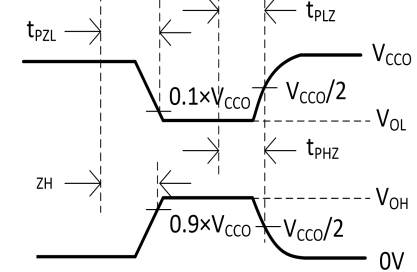
启用和禁用电压波形



传输延时电压波形

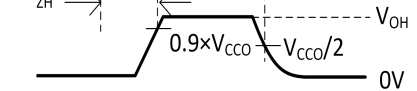
输出波形 1

S1 接  $2 \times V_{CCO}$   
(见注释 1)



输出波形 2

S1 接 Open  
(见注释 2)



注 1.  $C_L$  包括探针和夹电容。

2. 波形 1 用于具有内部条件的输出，使输出为低电平，除非输出控制端关断，波形 2 用于具有内部条件的输出，使输出为高电平，除非输出控制端关断。

3. 所有的输入脉冲由具有以下特性的发生器提供： $PRR \leq 10\text{MHz}$ ， $Z_o = 50\Omega$ ， $dv/dt \geq 1\text{V/ns}$ 。

4. 输出一次测量一次，每次测量都要转换一次。

5.  $t_{PZL}$ 、 $t_{PHZ}$  与  $t_{DIS}$  相同。

6.  $t_{PZL}$ 、 $t_{PZH}$  与  $t_{EN}$  相同。

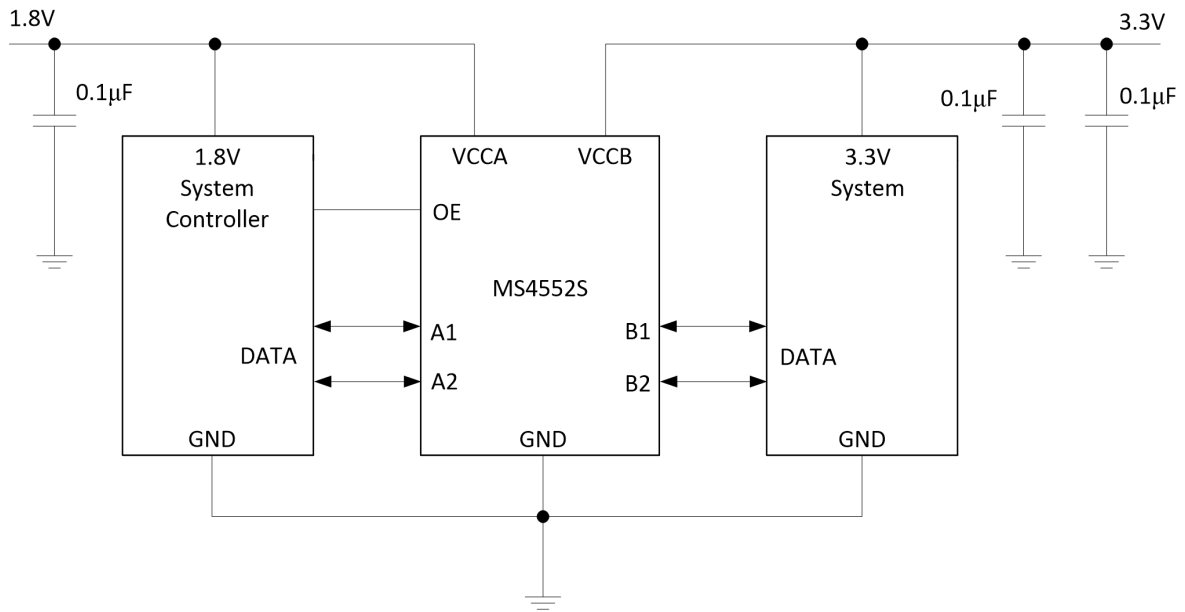
7.  $t_{PLH}$ 、 $t_{PHL}$  与  $t_{PD}$  相同。

8.  $V_{CCI}$  是与输入端口相关联的  $V_{CC}$ 。

9.  $V_{CCO}$  是与输出端口相关联的  $V_{CC}$ 。

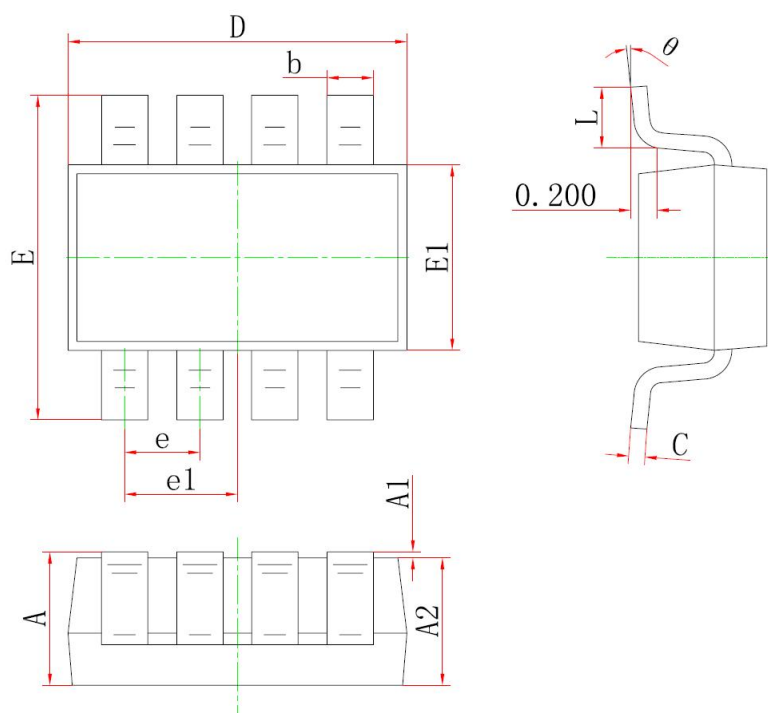
10. 所有参数和波形并不是适用于所有设备。

典型应用图



## 封装外形图

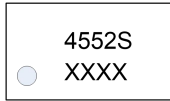
SOT23-8L



符号	单位：毫米		单位：英寸	
	最小值	最大值	最小值	最大值
A	1.050	1.250	0.041	0.049
A1	0.000	0.100	0.000	0.004
A2	1.050	1.150	0.041	0.045
b	0.300	0.500	0.012	0.020
c	0.100	0.200	0.004	0.008
D	2.820	3.020	0.111	0.119
E1	1.500	1.700	0.059	0.067
E	2.650	2.950	0.104	0.116
e	0.650BSC		0.026BSC	
e1	0.975BSC		0.038BSC	
L	0.300	0.600	0.012	0.024
θ	0°	8°	0°	8°

## 印章与包装规范

### 1. 印章内容介绍



产品型号：4552S

生产批号：XXXX

### 2. 印章规范要求

采用激光打印，整体居中且采用 Arial 字体。

### 3. 包装规范说明

型号	封装形式	只/卷	卷/盒	只/盒	盒/箱	只/箱
MS4552S	SOT23-8	3000	10	30000	4	120000

## 声明

- 瑞盟保留说明书的更改权，恕不另行通知！客户在下单前应获取最新版本资料，并验证相关信息是否完整。
- 在使用瑞盟产品进行系统设计和整机制造时，买方有责任遵守安全标准并采取相应的安全措施，以避免潜在失败风险可能造成的人身伤害或财产损失！
- 产品提升永无止境，本公司将竭诚为客户提供更优秀的产品！





### MOS电路操作注意事项

静电在很多地方都会产生，采取下面的预防措施，可以有效防止 MOS 电路由于受静电放电的影响而引起的损坏：

- 1、操作人员要通过防静电腕带接地。
- 2、设备外壳必须接地。
- 3、装配过程中使用的工具必须接地。
- 4、必须采用导体包装或抗静电材料包装或运输。



+86-571-89966911



杭州市滨江区伟业路 1 号  
高新软件园 9 号楼 701 室



[http:// www.relmon.com](http://www.relmon.com)